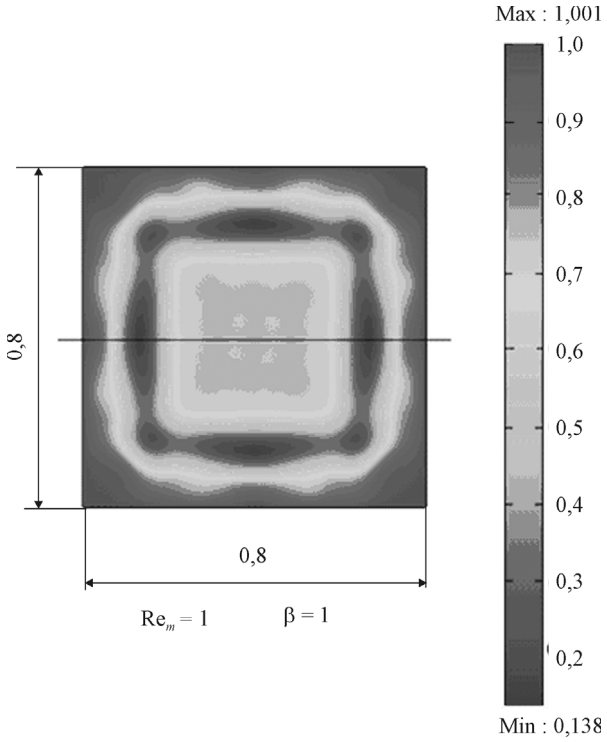


Рис. 1. Волновые явления, наблюдаемые при анализе двумерной картины поля в сечении сердечника

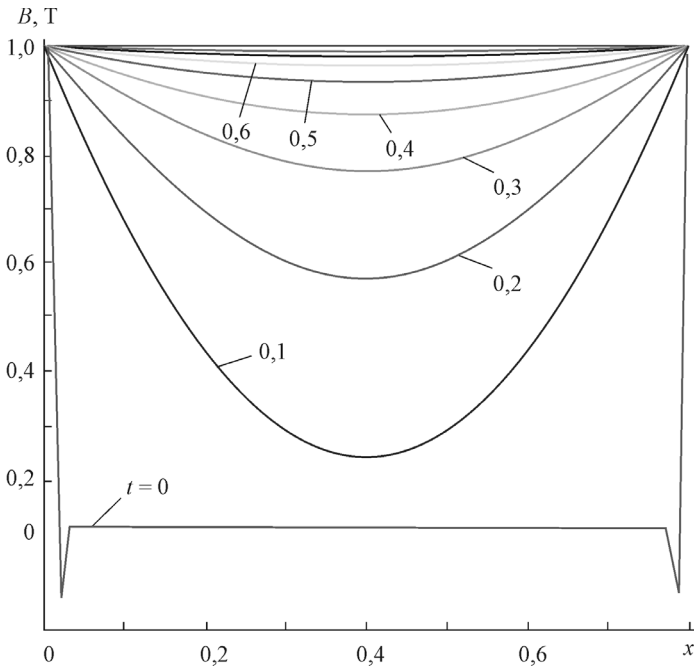


Рис. 2. Графики диффузионного распределения поля вдоль средней линии сечения сердечника при малом значении β

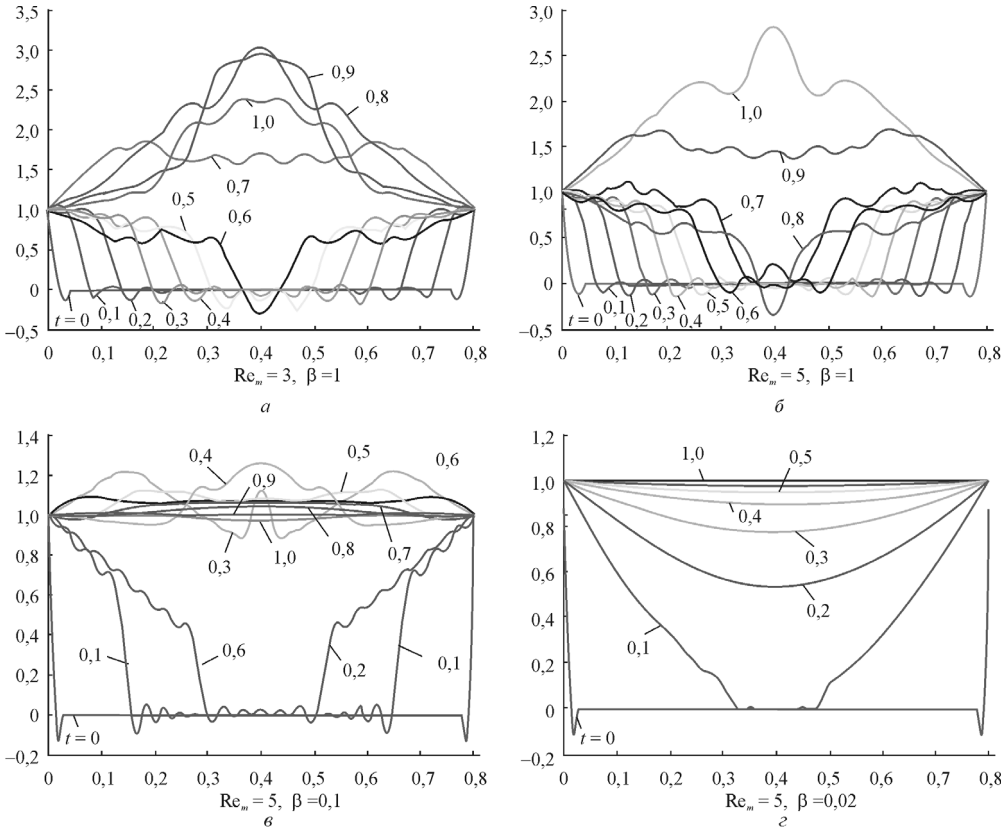


Рис. 3. Графики распределения магнитной индукции вдоль средней линии сечения сердечника при различных значениях параметров Re_m и β: *а* — $\mathrm{Re}_m = 3,\ \beta = 1$; *б* — $\mathrm{Re}_m = 5,\ \beta = 1$; *в* — $\mathrm{Re}_m = 5,\ \beta = 0{,}1$; *г* — $\mathrm{Re}_m = 5, \beta = 0{,}02$